

05; 01

**ДИНАМИКА ОБЪЕМНОГО ЗАХВАТА
БЫСТРЫХ ЗАРЯЖЕННЫХ ЧАСТИЦ
В КАНАЛЫ ИЗОГНУТОГО КРИСТАЛЛА**

H. A. Кудряшов, С. В. Петровский, М. Н. Стриханов

В данной работе предложены кинетические уравнения, описывающие динамику захвата быстрых положительно заряженных частиц в плоскостные каналы ИК и деканалирования, разработан алгоритм численного решения соответствующей краевой задачи. В единой модели учтены торцевой и объемный механизмы захвата. Проанализирована зависимость доли канализированных частиц от угловых параметров пучка и толщины кристалла. Показано, что зависимость захвата от заряда ионов Z_1 и их энергии обладает «масштабной инвариантностью» и определяется «масштабным параметром» $w = p_v/Z_1$.

На возможность управления траекториями быстрых заряженных частиц (БЗЧ) с помощью изогнутого кристалла (ИК) было указано в [1]. Обсуждаются два механизма захвата БЗЧ в каналы изогнутых плоскостей (осей) ИК [2]. При падении пучка БЗЧ на переднюю поверхность кристалла часть частиц пучка «заселяет» канализированные состояния («торцевой» захват). Эффективность торцевого захвата ограничена требованием малости угла влета (угловой необходимости) пучка Θ_0 ($\Delta\Theta_0 \leq \Theta_L$ (где Θ_L — угол Линдхарда), что значительно снижает «светосилу» поворотных устройств на основе ИК. В экспериментах ЛИЯФ [3, 4] был предложен и экспериментально подтвержден механизм «объемного» захвата (ОЗ). Суть этого явления состоит в том, что условия захвата в режим канализации могут возникнуть внутри объема кристалла — в областях, где траектория БЗЧ совпадает с касательной к изогнутой плоскости (оси). Из геометрических соображений очевидно, что угловой диапазон объемного захвата равен углу между крайними касательными и легко может достигать 1—10 мрад. Преобладающим механизмом (97 % в работе [5]) потерь по-перечной энергии БЗЧ, приводящим к ОЗ, является, по-видимому, механизм многократного рассеяния (МР), рассмотренный в [2, 6], причем в [2] предложена кинематическая теория ОЗ. В [6] выполнено прямое компьютерное моделирование кинетики ОЗ в ИК.

В настоящее время, однако, актуальной является задача количественного расчета динамики ОЗ в каналы ИК с последующим вычислением эффективности использования ИК для поворота пучков релятивистских заряженных частиц.

Кинетические уравнения

Функция распределения (ФР) для БЗЧ, движущихся в поле изогнутых плоскостей кристалла, удовлетворяет уравнению Больцмана

$$\frac{\partial f(t, p_x, x)}{\partial t} + v_x \frac{\partial f}{\partial x} + F_x \frac{\partial f}{\partial p_x} = I_{st}, \quad (1)$$

где t — время (глубина); p_x , v_x — локальные поперечные к плоскостям импульс и скорость; $F_x = -\partial U_{\text{eff}}/\partial x$ — поперечная сила; $U_{\text{eff}}(x) = U(x) - p_v x/R$ — эффективный потенциал ИК; $U(x)$ — межплоскостной потенциал в прямом

кристалле; p, v — импульс и скорость частиц; R — радиус изгиба кристалла; $x=r-R$ — поперечная (радиальная) координата.

Производя стандартное разложение интеграла столкновений I_{st} [7], получим

$$I_{st} = \int dq_x [f(t, p_x - q_x, x) w(q_x, p_x - q_x, x) - f(t, p_x, x) w(q_x, p_x, x)] \approx \approx \frac{\partial^2}{\partial p_x^2} [\langle q_x^2(x) \rangle f(t, p_x, x)], \quad (2)$$

где q_x — передаваемый импульс; $w(q_x, p_x, x)$ — вероятность рассеяния в единицу времени; $\langle q_x^2(x) \rangle = \int dq_x q_x^2 w(q_x, p_x, x) = p_x^2 v \langle \Delta \Theta_x^2(x) / \Delta s \rangle$. Здесь $\langle \Delta \Theta_x^2(x) / \Delta s \rangle$ — средний квадрат угла МР, который можно представить в виде

$$\left\langle \frac{\Delta \Theta_x^2(x)}{\Delta s} \right\rangle = \left\langle \frac{\Delta \Theta_n^2(x)}{\Delta s} \right\rangle + \left\langle \frac{\Delta \Theta_e^2(x)}{\Delta s} \right\rangle, \quad (3)$$

где $\left\langle \frac{\Delta \Theta_n^2(x)}{\Delta s} \right\rangle = \frac{1}{2} \left\langle \frac{\Delta \Theta_{am}^2}{\Delta s} \right\rangle p_n(x) d$ отвечает рассеянию на колеблющихся ядрах, $p_n(x)$ — усредненная вдоль плоскостей плотность ядер; $\langle \Delta \Theta_{am}^2 / \Delta s \rangle = (E_s / pv)^2 L_{rad}^{-1}$ ($E_s = 21$ МэВ, L_{rad} — радиационная длина). Аналогично $\langle \Delta \Theta_e^2(x) / \Delta s \rangle$ отвечает рассеянию на электронах и определяется усредненной вдоль плоскостей электронной плотностью.

Рассмотрим отдельно канализированную и неканализированную фракции пучка. Для канализирования БЭЧ переходим в (1), (2) к переменным (t, ϵ_\perp, x) , т. е. $f_1(t, \epsilon_\perp, x) = f(p_x, x, t)$, где $\epsilon_\perp = p_x^2/2E + U_{eff}(x)$ — поперечная энергия в ИК (причем $\epsilon_\perp < \epsilon_c$, ϵ_c — глубина потенциальной ямы $U_{eff}(x)$). Существенное упрощение уравнения возникает, если использовать условие «статистического равновесия» Линдхарда $\partial f_1 / \partial x = 0$, достигаемого на глубинах $\sim 10^3 - 10^6$ Å [8, 9]. Имеем тогда

$$\frac{1}{v_x(x, \epsilon_\perp)} \frac{\partial f_1(t, \epsilon_\perp)}{\partial t} = \frac{1}{2} \frac{\partial}{\partial \epsilon_\perp} \left[v_x(x, \epsilon_\perp) \langle q_x^2(x) \rangle \frac{\partial f_1(t, \epsilon_\perp)}{\partial \epsilon_\perp} \right], \quad (4)$$

где $v_x(x, \epsilon_\perp) = \sqrt{2E^{-1}(\epsilon_\perp - U_{eff}(x))}$.

Заметим, что уравнение (4) определяет ФР в классически разрешенной области $\epsilon_\perp > U_{eff}(x)$. В классически запрещенной области $\epsilon_\perp < U_{eff}(x)$ имеем $f_1 = 0$ [9, 10]. Вводя ФР по поперечным энергиям (усредненную по поперечной координате)

$$\varphi_1(\epsilon_\perp, t) = \frac{1}{d} \int_{x_1}^{x_2} \frac{dx}{v_x(x, \epsilon_\perp)} f_1(t, \epsilon_\perp) = \frac{T_1(\epsilon_\perp)}{d} f_1(t, \epsilon_\perp) \quad (5)$$

(d — период межплоскостного потенциала, $T_1(\epsilon_\perp) = \int dx / v_x(x, \epsilon_\perp)$ — полупериод движения с энергией ϵ_\perp , $x_1, 2$ — классические точки поворота), получим из (4) для ФР канализированных частиц уравнение диффузионного типа [9, 10]

$$\frac{\partial \varphi_1(\epsilon_\perp, t)}{\partial t} = \frac{1}{2} \frac{\partial}{\partial \epsilon_\perp} \left\{ D_1(\epsilon_\perp) \frac{\partial}{\partial \epsilon_\perp} \left[\frac{\varphi_1(\epsilon_\perp, t)}{T_1(\epsilon_\perp)} \right] \right\}. \quad (6)$$

Здесь

$$D_1(\epsilon_\perp) = 2^{1/2} (pv)^{1/2} \int_{x_1}^{x_2} dx \sqrt{\epsilon_\perp - U_{eff}(x)} \left\langle \frac{\Delta \Theta_x^2(x)}{\Delta s} \right\rangle \quad (7)$$

— коэффициент диффузии канализированных частиц.

Для неканализированных частиц переходим в уравнении (1) к переменным (t, p_\perp, x) , где $p'_\perp = \sqrt{2E\epsilon'_\perp}$ — «поперечный импульс», $\epsilon'_\perp = p_x^2/2E + U(x)$ — «поперечная энергия в прямом кристалле» ($\epsilon'_\perp > U_0$, где U_0 — максимальное

значение $U(x)$). Аналогично приведенному выше выводу получаем для ФР неканализированных частиц уравнение конвективно-диффузационного типа

$$\frac{\partial f_2(p'_\perp, t)}{\partial t} + \Delta U_0 \frac{\partial}{\partial p'_\perp} \left[\frac{f_2}{v'_\perp T_2(\epsilon'_\perp)} \right] = \frac{1}{2} \frac{\partial}{\partial p'_\perp} \left[\frac{D_2(\epsilon'_\perp)}{v'_\perp} \frac{\partial}{\partial p'_\perp} \left(\frac{f_2}{v'_\perp T_2} \right) \right], \quad (8)$$

где $v'_\perp = v(p'_\perp/p)$ — «поперечная скорость», $\Delta U_0 = pvd/R$.

Отметим, что выражения для периода движения неканализированных частиц $T_2(\epsilon'_\perp)$ и коэффициента диффузии $D_2(\epsilon'_\perp)$ могут быть получены из соответствующих выражений для $T_1(\epsilon_\perp)$ и $D_1(\epsilon_\perp)$ заменой $\epsilon_\perp \rightarrow \epsilon'_\perp$ и области интегрирования $[x_1, x_2] \rightarrow [0, d]$.

Для учета обмена частицами между канализированной и неканализированной фракциями пучка оценим изменение поперечной энергии иона вследствие МР (при $\epsilon_\perp \sim \epsilon_c$) за период движения

$$\Delta \epsilon_\perp \sim pv\Theta_c \sqrt{\left\langle \frac{\Delta \Theta_{am}}{\Delta s} \right\rangle \frac{d}{\Theta_c}} \sim \left(\frac{2\epsilon_c}{pv} \right)^{1/4} \left(\frac{d}{L_{\text{рад}}} \right)^{1/2} E_s, \quad (9)$$

где $\Theta_c = \sqrt{2\epsilon_c/pv}$ — критический угол канализирования для ИК.

Рассмотрим в случае «интенсивного» МР $\Delta \epsilon_\perp \gg \Delta U$, где ΔU — изменение потенциала ИК на межплоскостном периоде (для экспериментов [3, 4], например, имеем $\Delta \epsilon_\perp \sim 16$ эВ, $\Delta U \sim 1$ эВ). В этом случае можно пренебречь влиянием упругого отражения неканализированных частиц от асимметричного потенциального барьера ИК [11] на процесс захвата в каналы ИК. Математически это означает соответствующую спшивку (с учетом различной нормировки) ФР и потоков канализированных (при $\epsilon_\perp = \epsilon_c$) и неканализированных (при $\epsilon_\perp = U_0$) частиц.

Получим начальные условия для уравнений (6), (8). Пусть $f_0(p_{0x})$ — распределение пучка частиц по поперечным импульсам (углам) до влета в ИК. Усредняя по поперечной координате, получим начальное условие для ФР канализированных частиц

$$\varphi_1(\epsilon_\perp, 0) = \frac{1}{d} \left(\frac{E}{2} \right)^{1/2} \int_{x_1}^{x_2} \frac{dx f_0(p_{0x}) \sqrt{2E(\epsilon_\perp - U_{\text{eff}}(x))}}{\sqrt{\epsilon_\perp - U_{\text{eff}}(x)}}. \quad (10)$$

Аналогично можно получить начальное условие для ФР неканализированных частиц.

Зарядово-энергетическая «масштабная инвариантность»

Рассмотрим зарядовую и энергетическую зависимости параметров канализирования ионов. Введем «масштабный параметр» $w = pv/Z_1$. В прямом кристалле критический угол канализирования $\Theta_L = \sqrt{2U_0/pv} \sim w^{-1/2}$ убывает с ростом w . Убывает также средний квадрат угла МР в кристалле $\langle \Delta \Theta_x^2(x)/\Delta s \rangle \sim w^{-2}$. Длина деканализирования наоборот увеличивается $l_g \sim \Theta_L^2 / \langle \Delta \Theta_x^2 / \Delta s \rangle \sim w$. Не трудно видеть, что подобная «масштабная инвариантность» имеет место и в ИК. Эффективный потенциал ИК имеет вид $U_{\text{eff}}(x) = Z_1 [U_1(x) - wx/R]$, где $U_1(x)$ — межплоскостной потенциал для протонов. Глубина потенциальной ямы имеет вид $\epsilon_c = Z_1 f(w)$. Отсюда следует, что критический угол канализирования для ИК $\Theta_c = \sqrt{2f(w)/w}$ и длина деканализирования $l_c \sim wf(w)$ являются функциями параметра w .

Уравнение (6) для ФР канализированных ионов в безразмерном виде имеет вид

$$\frac{\partial \psi_1(y, \tau)}{\partial \tau} = 2 \frac{\partial}{\partial y} \left\{ \Phi_1(y) \frac{\partial}{\partial y} \left[\frac{\psi_1(y, \tau)}{x_1(y)} \right] \right\}, \quad y \leq 1, \quad (6')$$

где $y = \epsilon_\perp/\epsilon_c$, $\psi_1(y, \tau) dy = \varphi_1(\epsilon_\perp, t) d\epsilon_\perp$, $\tau = vt/l_c$, $U_{\text{eff}}(\xi, w) = U_{\text{eff}}(x)/\epsilon_c$, $\xi = x/d$.

$$\Phi_1(y) = \int_{\xi_1}^{\xi_2} d\xi \sqrt{y - u_{eff}(\xi, w)} d[\rho_n(\xi) + \beta Z_2^{-2} \rho_e(\xi)],$$

$$\chi_1(y) = \int_{\xi_1}^{\xi_2} \frac{d\xi}{\sqrt{y - u_{eff}(\xi, w)}}.$$

Уравнение (6') обладает требуемой «масштабной инвариантностью». В аналогичном виде можно записать уравнение (8) для неканализированных ионов и соответствующие начальные условия, что и доказывает «масштабную инвариантность» канализирования в ИК.

Результаты численных расчетов

Уравнения (6), (8) с соответствующими начальными условиями решались конечно-разностным способом на ЭВМ. Возникающая система сеточных уравнений решалась стандартным методом трехточечной прогонки. Размеры сетки

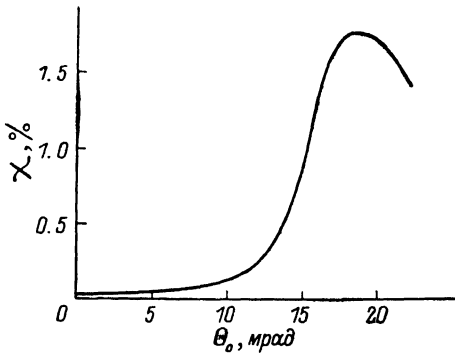


Рис. 1.

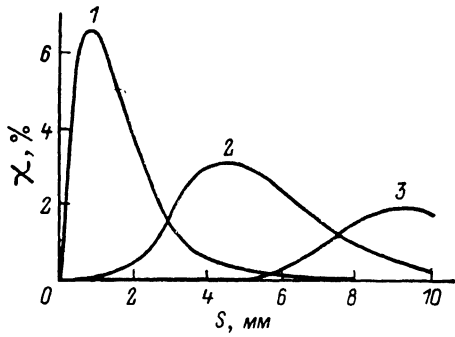


Рис. 2.

и число узлов варьировались в зависимости от параметров пучка и кристалла. Межплоскостной потенциал вычислялся по формуле

$$U(x) = \frac{Z_1 l}{\Omega_0} \sum_{G_x} \frac{4\pi [Z_2 - F(G_x)]}{G_x^2} S(G_x) \exp\left[-\frac{1}{2} K(G_x)\right] e^{i G_x x},$$

где Ω_0 — объем элементарной ячейки; $G_x = 2\pi n_x/d$ — вектора обратной решетки, перпендикулярные выбранной кристаллографической плоскости; $S(G_x)$ — структурный фактор; $K(G_x)$ — фактор Дебая—Валлера; атомные форм-факторы $F(G_x)$ брались из [12].

Аналогично вычислялись ядерная и электронная плотности. Численные расчеты проводились для изогнутых (111) плоскостей Si, что соответствует экспериментам ЛИЯФ [3, 4]. Доля канализированных частиц ДКЧ вычислялась по формуле

$$\chi = \int_{\epsilon_\perp < \epsilon_c} d\epsilon_\perp \varphi_1(\epsilon_\perp, t).$$

На рис. 1 представлена зависимость ДКЧ от угла влета пучка протонов в ИК кремния с энергией 1 ГэВ (угловая ширина пучка $\Delta\Theta_0 = 1$ мрад, толщина кристалла $S = 1$ см, радиус изгиба $R = 46$ см). Максимум распределения соответствует ОЗ вблизи задней границы кристалла, так как длина деканализирования в данном случае ($l_c \approx 1.3$ мм) меньше толщины кристалла. Ширина распределения на рис. 1 обусловлена в основном МР в кристалле.

На рис. 2 представлены зависимости $\chi(s)$ (s — глубина в кристалле для протонного пучка с $E_{kin} = 1$ ГэВ, $\Delta\Theta_0 = 1$ мрад, $R = 46$ см) для различных углов

влета пучка (Θ_0 , мрад: 1 — 2, 2 — 10, 3 — 20). Максимумы $\chi(s)$ соответствуют точкам ОЗ.

Заметим здесь, что оптимальные угловые параметры ОЗ можно получить из следующих соображений. Пучок БЗЧ с начальной шириной $W=p\Delta\Theta_0$ «дрейфует» в пространстве поперечных импульсов p'_\perp со «скоростью» $\sim pv/R$ из начальной точки $-p\Theta_0$ по направлению к каналу. Характерное время пребывания в канале захваченных частиц $t_e \sim l_e/v$. Максимальное число частиц в канале достигается при условии $R\sqrt{W^2+(\Delta W)^2}/pv \leq t_e$, где $\Delta W = (E_s/pv)\sqrt{R\Theta_0/L_{\text{пад}}}$ — «дополнительная» ширина пучка, приобретенная в ИК

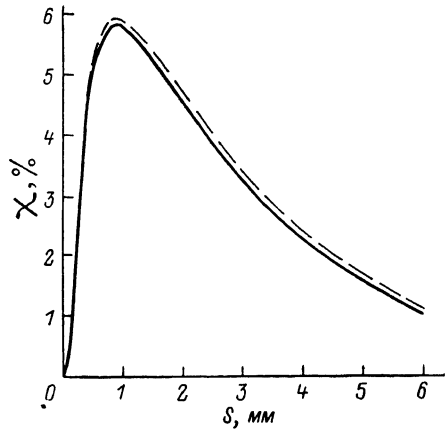


Рис. 3.

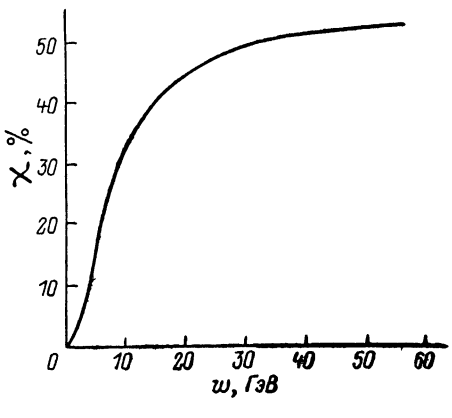


Рис. 4.

вследствие МР на пути к области захвата. Отсюда получим условие на оптимальные угловые параметры пучка

$$\sqrt{\Delta\Theta_0^2 + \left(\frac{E_s}{pv}\right)^2 \frac{R\Theta_0}{L_{\text{пад}}}} \leq \frac{l_a}{R}.$$

Для экспериментов [3, 4] имеем отсюда

$$\sqrt{\Delta\Theta_0^2 + \Theta_0} \leq 2.61, \quad (11)$$

где $\Delta\Theta_0$, Θ_0 измеряются в мрад. Кривая 1 на рис. 2 удовлетворяет неравенству (11), кривые 2, 3 — нет, что подтверждается их поведением.

Свойство «масштабной инвариантности» показано на рис. 3, где представлена зависимость $\chi(s)$ для релятивистских ядер в ИК кремния ($R=31$ см) для пучка ядер C^{16} с $E_{\text{кин}}=8.4$ ГэВ (сплошная кривая) и пучка ядер Ba^{176} с $E_{\text{кин}}=70$ ГэВ (штриховая кривая). Масштабные параметры равны соответственно $w_1=2.20$ ГэВ, $w_2=2.06$ ГэВ. Угол влета пучков $\Theta_0=1$ мрад, угловая ширина $\Delta\Theta_0=0.8$ мрад.

На рис. 4 приведена зависимость доли канализированных ядер от значения масштабного параметра в ИК кремния на глубине $s=10$ мм ($R=31$ мм) для узких пучков $\Delta\Theta_0=\Theta_0$, $\Theta_0=0$. При вычислениях пренебрегалось процессами подхвата электронов ядрами, так как энергия ядер выбиралась достаточно большой [13].

Литература

- [1] Tsygannov E. N. Fermilab Preprint. TM-684. Batavia, 1976.
- [2] Сумбаев О. И. // ЖТФ. 1987. Т. 57. Вып. 11. С. 2067—2077.
- [3] Андреев В. А., Баубис В. В., Дамаскинский Е. А. и др. // Письма в ЖЭТФ. 1982. Т. 36. Вып. 9. С. 340—343.
- [4] Андреев В. А., Баубис В. В., Дамаскинский Е. А. и др. // Письма в ЖЭТФ. 1984. Т. 39. Вып. 12. С. 58—61.
- [5] Андреев В. А., Баубис В. В., Дамаскинский Е. А. и др. // Письма в ЖЭТФ. 1986. Т. 44. Вып. 2. С. 101—103.

- [6] Таратин А. М., Воробьев С. А. // ЖТФ. 1985. Т. 55. Вып. 2. С. 98—102.
[7] Берестецкий В. Б., Лифшиц Е. М., Питаевский Л. П. Физическая кинетика. М.: Наука, 1979. 527 с.
[8] Линдхард И. // УФН. 1969. Т. 99, № 2. С. 249—296.
[9] Кумахов М. А., Ширмен Г. Атомные столкновения в кристаллах. М.: Атомиздат, 1980. 103 с.
[10] Белошицкий В. В., Кумахов М. А. // ДАН СССР. 1973. Т. 221. № 4. С. 846—849.
[11] Taratin A. M., Vorobiev S. A. // Phys. St. Sol. B. 1986. Vol. 133. P. 511—516.
[12] Doyle P. A., Turner P. S. // Acta Cryst. 1968. Vol. 24 A. P. 395—397.
[13] Betz H. D. // Rev. Mod. Phys. 1972. Vol. 44. N 3. P. 465—539.

Московский
инженерно-физический институт

Поступило в Редакцию
5 января 1988 г.
